

(178)

## 回転対称形の絞り張出し複合成形の変形状態

日新製鋼  
富士製鉄  
日大生産工学部  
理化研究所  
○加藤敏雄  
町田輝史  
小林満彬  
阿部邦雄

## 概要

純粹の張出し変形部ならびに組みフランジ部の変形状態については既に吉田により変形状態図の提案と、さらに数値解で求めたとの图形拳動の検討がなされている。ここでは、32#球頭ポンチを用いた絞り張出し複合成形において、変形におよぼす $\epsilon_r$ 値と $\tau$ 値の効果を変形状態図の图形拳動から検討したので報告する。材料は $\epsilon_r$ 値と $\tau$ 値の異なる表-1に示す3種をえらんだ。

図1は、プランク径80°の無潤滑での典型的絞り張出し成型の結果である。図2は内周を拘束して張出し要素を強くした場合で、また図3はこれにポンチ側を高潤滑した結果である。各図とも成形深さ10mmのものと破断深さのものと2種の変形状態図を示してある。

成形深さ10mmで比較すると、 $\epsilon_r$ 値と $\tau$ 値の効果はこれら两者とも高くなるとポンチ球底部での局部的な変形が緩和され、広範囲かつ均一化した変形となり、图形は滑らかとなる。縮み流入の大きい場合(図1)には $\tau$ 値の効果が一層助長される。成形が進行するとこれらの傾向は一層強くなり、その為破断までの成形深さが $\epsilon_r$ 値、 $\tau$ 値の増加について大きくなり、また破断部のひずみ比も異ってくる。

これら複合成形の結果は、潤滑、無潤滑とも吉田による張出しおよび絞りの数値解による图形拳動の傾向とよく一致している。

表1 材料の機械試験値

	板厚 (mm)	YP (kg/mm <sup>2</sup> )	TS (kg/mm <sup>2</sup> )	EL (%)	元 (%)	下 (%)
リムド鋼	0.8	19.3	26.3	47.0	0.208	1.03
チタン	0.8	15.6	27.3	47.5	0.115	4.41
18-8ステンレス	0.8	22.9	57.4	73.5	0.586	1.12

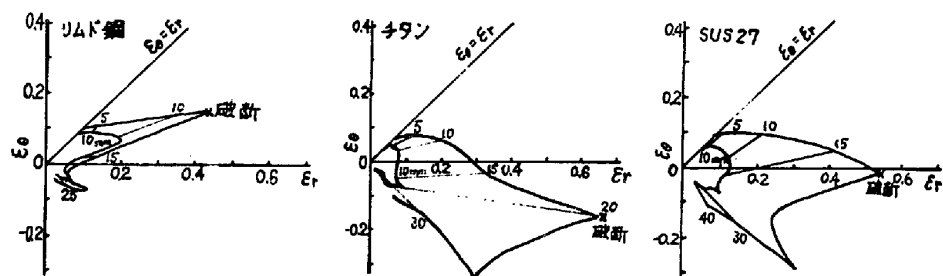


図1 (上)

80°プランク、無潤滑

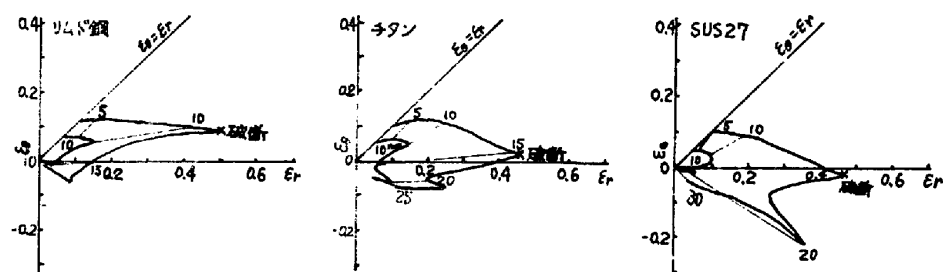


図2 (中)

内周拘束、無潤滑

図3 (下)

内周拘束、潤滑

